

## EFFUSION GAZEUSE

(ENS-Lyon-PC-2023)

XII

1. Libre parcours moyenne  $\ell$ : Distance moyenne parcourue par une particule entre deux interactions.  
Cette moyenne est calculée en suivant une particule sur une durée  $\tau$  très longue devant la durée moyenne entre deux interactions.  
Le principe ergodique affirme que cette moyenne s'identifie à la distance moyenne entre deux interactions pour un grand nombre de particules suivies sur une durée  $\tau$ .

2. Pour vérifier  $H_{eff}$  il faut que la dimension  $d$  d'un atome vérifie  
 $d \ll \sqrt{\ell}$   
De plus l'absence de collision lors du passage du trou suggère  
 $\ell \gg \sqrt{S}$ .



- Systèmes à évolution de 1<sup>er</sup> ordre
- $N_1(t) + N_2(t) = N \quad \forall t$
- $\lim_{t \rightarrow \infty} N_1(t) = \lim_{t \rightarrow \infty} N_2(t) = \frac{N}{2}$

4.  $\tau$  dépend a priori de :
  - $m$ : effusion plus courte si trou plus grand.
  - $T_0$ : " " " " si particules légères
  - $V$ : " " " " si particules rapides. Or  $v \propto \sqrt{T_0}$ .

$V$ : effusion plus courte si  $V$  plus faible

$$\begin{aligned}
 [\tau] &= \left[ \delta^{\alpha} m^{\beta} T_0^{\gamma} \right]^{\frac{1}{2}} \left[ \frac{\delta}{k_B} \right]^{\frac{1}{2}} = \tau \\
 &= L^{2\alpha} M^{\beta} [H]^{\frac{1}{2}} L^{3\delta} \left[ \frac{k_B}{H} \right]^{\frac{1}{2}} = \tau \quad [\frac{k_B}{H}] = M L^2 T^{-2} [H]^{-1} \\
 \Rightarrow & \left\{ M^{\beta+\frac{1}{2}} L^{2\alpha+3\delta-2\epsilon} T^{-2\epsilon} [H]^{\frac{1}{2}-\epsilon} = \tau \right. \\
 \Rightarrow & \left\{ \epsilon = -\frac{1}{2}; \beta = \frac{1}{2}; \alpha = \frac{1}{2}; 2\alpha + 3\delta = 1 \right.
 \end{aligned}$$

Donc  $\tau \approx \delta^{\frac{1}{2}} V^{\frac{1}{2}} \sqrt{\frac{m}{k_B T_0}}$

Donc l'analyse dimensionnelle ne suffit pas à déterminer l'expression de  $\tau$

5. L'effusion est irréversible. La grande majorité de particules rend la retrouver toutes dans le cube de gauche pour  $t \geq 0$ .

6. Condition de normalisation :  $\iiint d^3P = 1$

soit  $\int_{-\infty}^{\infty} \int_{-\infty}^{\infty} \int_{-\infty}^{\infty} A e^{-\frac{m}{2k_B T} u_x^2 + u_y^2 + u_z^2} duduyduz = 1$ , où  $m^2 = u_x^2 + u_y^2 + u_z^2$ .

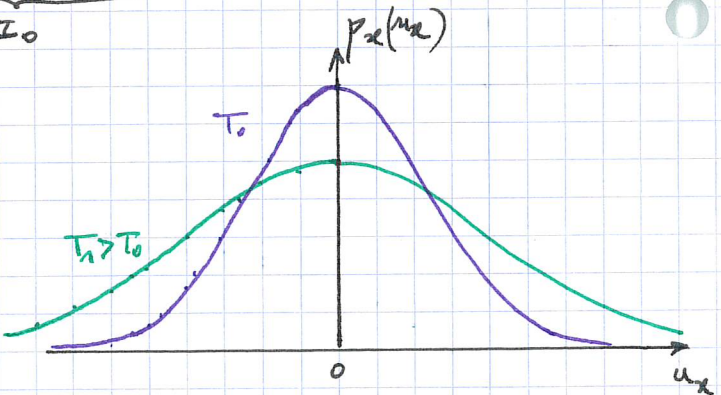
les 3 composantes de  $\vec{u}$  étant interchangeables, la condition s'écrit

$$\left( \int_{-\infty}^{\infty} A e^{-\frac{m}{2k_B T} u_i^2} du_i \right)^3 = 1 ; \text{ Posons } \xi = \sqrt{m} u_i ; d\xi = \sqrt{m} du_i$$

$$\rightarrow \left( \frac{1}{\sqrt{m}} \int_{-\infty}^{\infty} A e^{-\frac{\xi^2}{2}} d\xi \right)^3 = 1 \text{ soit } \left( \frac{A}{\sqrt{m}} I_0 \right)^3 = 1 \rightarrow A = \frac{\sqrt{m}}{2I_0} = \frac{\sqrt{m}}{\sqrt{\pi}}$$

$$\text{car } \int_{-\infty}^{+\infty} e^{-\frac{\xi^2}{2}} d\xi = \int_{-\infty}^0 e^{-\frac{\xi^2}{2}} d\xi + \underbrace{\int_0^{\infty} e^{-\frac{\xi^2}{2}} d\xi}_{I_0} = 2I_0 \text{ car } e^{-\frac{\xi^2}{2}} \text{ est paire}$$

$$A = \sqrt{\frac{m}{2\pi k_B T_0}}$$

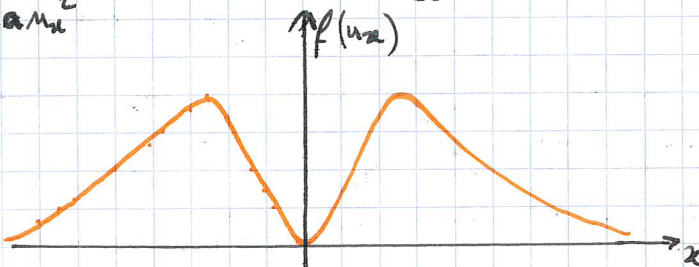


La dispersion des vitesses augmente avec  $T$ .

La parité de  $p_x$  traduit l'isotropisme de la distribution des vitesses.

7 - Par analogie avec (5). :  $\langle u_x^2 \rangle_{IR} = \int_{IR} u_x^2 p_x du_x \rightarrow f(u_x) = u_x^2 p_x$

$$f(u_x) = A u_x^2 e^{-\frac{m}{2k_B T} u_x^2}$$



$$8 - \langle \bar{u} \rangle = \begin{vmatrix} \langle u_x \rangle \\ \langle u_y \rangle \\ \langle u_z \rangle \end{vmatrix} ; \text{ Or } \langle u_x \rangle = \int_{IR} u_x e^{-\frac{m}{2k_B T} u_x^2} du_x = 0$$

car  $u_x e^{-\frac{m}{2k_B T} u_x^2}$  est impaire.

$\rightarrow \langle \bar{u} \rangle_{IR} = 0$  traduit l'équilibre du fluide.

$$9 - E_c = \left\langle \frac{1}{2} m \bar{u}^2 \right\rangle_{IR} = \frac{1}{2} m (\langle u_x^2 \rangle + \langle u_y^2 \rangle + \langle u_z^2 \rangle) = \frac{3}{2} m \langle u_x^2 \rangle$$

car  $u_x$  et  $u_y$  et  $u_z$  sont équivalents pour isotropie.

$$\langle u_x^2 \rangle = A \int_{\mathbb{R}} u_x^2 e^{-\alpha u_x^2} du_x = 2A \int_0^{\infty} u_x^2 e^{-\alpha u_x^2} du_x ; \text{ soit } \xi = \sqrt{\alpha} u_x \quad \checkmark$$

$$d\xi = \sqrt{\alpha} du_x .$$

$$\langle u_x^2 \rangle = \frac{2}{\alpha^{3/2}} A \int_0^{\infty} \xi^2 e^{-\xi^2} d\xi = \frac{2}{\alpha^{3/2}} A I_2 = \frac{\sqrt{\pi}}{2} A \alpha^{-3/2} = \frac{1}{2\alpha}$$

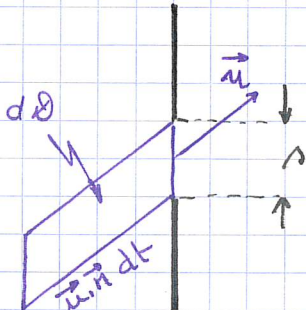
$$\rightarrow E_c = \frac{3}{4} \frac{m}{\alpha} \quad \rightarrow \quad E_c = \frac{3}{2} k_B T_0$$

Ceci constitue la définition cinétique de la température absolue de "3" traduit l'équipartition de l'énergie moyenne selon les 3 degrés de liberté des atomes des gaz.

A.N:  $u_{rms} = \sqrt{\langle u^2 \rangle_{R3}} = \sqrt{3 \langle u_x^2 \rangle} = \sqrt{\frac{3}{2\alpha}} \rightarrow u_{rms} = \sqrt{\frac{3k_B T_0}{m}}$

$$u_{rms} = 1. \text{ km s}^{-1}$$

10.



$$d\Omega = S u \cdot \hat{e}_x dt = S u_x dt$$

$$dN_a = \frac{N_1}{V} d\Omega \rightarrow dN_a = \frac{N_1}{V} S u_x dt$$

11. On intègre  $dN_a$  sur la distribution des vitesses  $u_x > 0$ , correspondant aux atomes se dirigeant vers le trou.

$$dN_{1/2} = \int_0^{\infty} dN_a du_x = \int_0^{\infty} A \frac{N_1}{V} S u_x e^{-\alpha u_x^2} du_x dt ; \xi = \sqrt{\alpha} u_x$$

$$\frac{dN_{1/2}}{dt} = A \frac{N_1}{V} S \frac{1}{\alpha} \int_0^{\infty} \xi e^{-\xi^2} d\xi = A \frac{N_1}{V} S \frac{1}{\alpha} \cdot I_1 = \frac{N_1}{2V} S \frac{\sqrt{\pi}}{\sqrt{\alpha}}$$

$$\text{soit } \dot{N}_{1/2} = \frac{N_1}{I} \quad \text{où} \quad I = \frac{2V\sqrt{\alpha}}{A\sqrt{\pi}}$$

$$I = \frac{2V}{A} \sqrt{\frac{2m}{\pi k_B T}}$$

12. Pour  $V=1L$  :  $I \approx 10^6 \text{ s} \approx 12 \text{ jours}$

13. Cette durée est très longue par rapport aux autres durées typiques des processus physiques. Cela confirme l'hypothèse de stationnarité de l'effusion.

$$14. \ell > 10\sqrt{s} \rightarrow \frac{1}{m\omega} > 10\sqrt{s} \rightarrow \frac{1}{m} > 10^5 \cdot \sqrt{s}$$

Équation d'état des gaz parfaits :  $P = n k_B T \rightarrow \frac{1}{m} = \frac{k_B T}{P}$

$$\text{Donc } P < \frac{k_B T}{100\sqrt{\lambda}} \rightarrow P_{\max} = \frac{k_B T}{100\sqrt{\lambda}}$$

$$\tau \approx \frac{\pi d^2}{4}; \quad d \approx 10^{-10} \text{ m} \Rightarrow \tau \approx 0,8 \cdot 10^{-20} \text{ m}^2$$

$$\Rightarrow P_{\max} \approx \frac{1 \cdot 10^{-23} \cdot 300}{10 \cdot 0,8 \cdot 10^{-20} \cdot 10^{-6}} = \frac{3 \cdot 10^{-21}}{8 \cdot 10^{-26}} \Rightarrow P_{\max} = 0,4 \cdot 10^5 \text{ Pa}$$

$$P_{\max} = 0,4 \text{ bar}$$

15. On tient compte cette fois de l'effusion dans les deux sens, en utilisant et en adaptant l'équation (7)

\* Particules passant de (1) à (2) par unité de temps :  $\dot{N}_{1/2} = \frac{N_1}{\tau}$

" " " (2) à (1) " "

$$\dot{N}_{2/1} = \frac{N_2}{\tau}$$

Bilan de  $N_1(t)$  :  $\frac{dN_1}{dt} = -\dot{N}_{1/2} + \dot{N}_{2/1} = \frac{N_2}{\tau} - \frac{N_1}{\tau}$

$$\rightarrow \frac{dN_1}{dt} + \frac{1}{\tau} N_1 = \frac{N_2}{\tau} \quad (\text{a})$$

de même :  $\frac{dN_2}{dt} = \dot{N}_{1/2} - \dot{N}_{2/1} \Rightarrow \frac{dN_2}{dt} + \frac{1}{\tau} N_2 = \frac{N_1}{\tau} \quad (\text{b})$

16. (a) + (b) :  $\frac{d}{dt}(N_1 + N_2) + \frac{1}{\tau}(N_1 + N_2) = \frac{1}{\tau}(N_1 + N_2) \rightarrow N_1 + N_2 = \text{cte}$

$$N_1(t) + N_2(t) = N_1(0) + N_2(0) = N$$

(a) :  $\frac{dN_1}{dt} + \frac{1}{\tau} N_1 = \frac{1}{\tau}(N - N_1) \rightarrow \frac{dN_1}{dt} + \frac{2}{\tau} N_1 = \frac{N}{\tau}$

Solution :  $N_1(t) = \frac{N}{2} + A e^{-2t/\tau}; \quad N_1(0) = N = \frac{N}{2} + A \Rightarrow A = \frac{N}{2}$

$$\rightarrow N_1(t) = \frac{N}{2}(1 + e^{-2t/\tau})$$

$$N_2(t) = N - N_1(t) = \frac{N}{2}(1 - e^{-2t/\tau})$$

17. \*  $\tau$  est une fonction croissante de  $m$ .

Durée d'effusion des particules les plus massives est plus longue. Le comportement (1) va donc s'enrichir (en proportion) en particules lourdes.



\* L'effusion est optimale lorsque la ration des quantités de chaque espèce est maximal dans (1).

Ainsi ce ratio  $r(t) = \frac{N_{1b}(t)}{N_{1a}(t)}$

5

$$n(t) = \frac{N_b (1 + e^{-2t/\tau_b})}{N_a (1 + e^{-2t/\tau_a})}$$

$$\frac{dn}{dt} = \frac{N_b}{N_a} \frac{-\frac{2}{\tau_b} e^{-2t/\tau_b} (1 + e^{-2t/\tau_a}) + \frac{2}{\tau_a} e^{-2t/\tau_a} (1 + e^{-2t/\tau_b})}{(1 + e^{-2t/\tau_a})^2} = 0 \quad \text{si}$$

$$\frac{1}{\tau_b} e^{-2t^*/\tau_b} (1 + e^{-2t^*/\tau_a}) = \frac{1}{\tau_a} e^{-2t^*/\tau_a} (1 + e^{-2t^*/\tau_b})$$

$$\tau_a (e^{2t^*/\tau_a} + 1) = \tau_b (e^{2t^*/\tau_b} + 1) \Rightarrow \frac{\tau_a}{\tau_b} = \frac{\operatorname{ch}(t^*/\tau_b)}{\operatorname{ch}(t^*/\tau_a)} \quad (E)$$

Si  $t^* \ll \tau_{a,b}$   $\operatorname{ch}\left(\frac{t^*}{\tau_b}\right) \stackrel{DL_2}{\approx} 1 + \frac{1}{2}\left(\frac{t^*}{\tau_b}\right)^2$ ;  $\operatorname{ch}\left(\frac{t^*}{\tau_a}\right) \stackrel{DL_2}{\approx} 1 + \frac{1}{2}\left(\frac{t^*}{\tau_a}\right)^2$

$$\rightarrow \frac{\tau_a}{\tau_b} \approx \left(1 + \frac{1}{2}\left(\frac{t^*}{\tau_b}\right)^2\right) \left(1 - \frac{1}{2}\left(\frac{t^*}{\tau_a}\right)^2\right) \approx 1 + \frac{t^{*2}}{2} \left(\frac{1}{\tau_b^2} - \frac{1}{\tau_a^2}\right)$$

$$t^{*2} \approx \frac{2(\tau_a/\tau_b - 1)}{\frac{1}{\tau_b^2} - \frac{1}{\tau_a^2}} = 2\tau_a^2 \frac{\tau_a/\tau_b - 1}{\left(\frac{\tau_a}{\tau_b}\right)^2 - 1} \rightarrow t^{*2} \approx \frac{2\tau_a^2}{\frac{\tau_a}{\tau_b} + 1}$$

$$t^* \approx \tau_a \sqrt{\frac{2}{\frac{\tau_a}{\tau_b} + 1}}$$

Remarque: Si  $\tau_a \approx \tau_b$ ,  $t^* \approx \tau_a$  donc l'hypothèse est invalidée

Si  $\tau_a \gg \tau_b$ ,  $t^* \approx \sqrt{\tau_a \tau_b}$   $t^* \ll \tau_a$  mais  $t^* \gg \tau_b$ .

Si  $\tau_a \ll \tau_b$ ,  $t^* \approx \tau_b$  donc l'hypothèse est invalidée

Donc il faut résoudre numériquement l'équation (E).

Cas correct d'enrichissement:  $\frac{U_{g2}}{U_{g1}} \approx \frac{U_{g1}}{U_{g2}}$

\*  $H_1^1 / H_1^2$  (deuterium.)

18. Pour un raisonnement identique à celui de la 15).

$$\frac{dN_1}{dt} = -\dot{N}_{1/2} + \dot{N}_{2/1} = -\frac{N_1}{\tau_1} + \frac{N_2}{\tau_1}$$

$$\frac{dN_2}{dt} = \dot{N}_{1/2} - \dot{N}_{2/1} - \dot{N}_{2/\text{rate}} = \frac{N_1}{\tau_1} - \frac{N_2}{\tau_1} - \frac{N_2}{\tau_2} \quad \text{où } \tau_2 = \frac{\tau_1}{k}$$

$$\Rightarrow \frac{dN_1}{dt} = \frac{1}{\tau_1} (N_2 - N_1) \quad (1)$$

$$\frac{dN_2}{dt} = \frac{1}{\tau_1} (N_1 - N_2 (1 + k)) \quad (2)$$

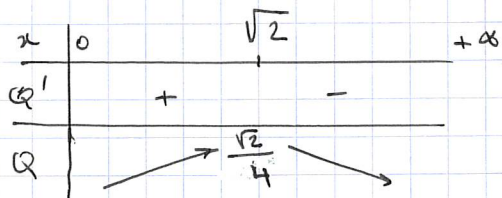
19. (2) S'écrit  $N_1 = \tau_1 \frac{dN_2}{dt} + (1+k) N_2$

$$\text{Dans (1): } \tau_1^2 \frac{d^2 N_2}{dt^2} + (1+k) \tau_1 \frac{dN_2}{dt} = N_2 - \tau_1 \frac{dN_2}{dt} - (1+k) N_2$$

$$\Rightarrow \frac{d^2 N_2}{dt^2} + \frac{1+k}{\tau_1} \frac{dN_2}{dt} + \frac{k}{\tau_1^2} N_2 = 0$$

20. On pose  $\omega_0^2 = \frac{k}{\tau_1^2}$  et  $\frac{\omega_0}{Q} = \frac{2+k}{\tau_1} \Rightarrow Q = \frac{\sqrt{k}}{2+k}$

Possessons  $\sqrt{k} = x$  :  $Q = \frac{x}{2+x^2}$ ,  $\frac{dQ}{dx} = \frac{2+x^2 - 2x^2}{(2+x^2)^2} = \frac{2-x^2}{(2+x^2)^2}$



$Q_{\max} < \frac{1}{\sqrt{2}}$  donc la solution est soitement périodique.

21 - \*  $p_1$  et  $p_2$  imaginaires engendreraient des solutions oscillantes

ce qui n'est pas raisonnable avec une ouverture sur le vide donc sans retour de particules dans (2).

\*  $p_1$  et  $p_2$  sont négatives assurant un amortissement de la solution et donc une vidange de (2) à cause du trou s'.

N.B: D'après le polynôme caractéristique  $p_1 + p_2 = -\frac{\omega_0}{\alpha} < 0$

$$\text{et } p_1 \cdot p_2 = \omega_0^2 > 0$$

qui confirme  $p_1$  et  $p_2$  sont négatives.

22 -  $N_2(t) = \alpha e^{p_1 t} + (\beta e^{p_2 t}) \quad ; \quad \frac{dN_2}{dt} = \alpha p_1 e^{p_1 t} + (\beta p_2 e^{p_2 t})$

C.I:  $N_2(0) = 0 = \alpha + \beta \Rightarrow \underline{\beta = -\alpha}$

$$\frac{dN_2(0)}{dt} = \frac{1}{\tau_1} N = \alpha p_1 + \beta p_2 = \alpha(p_1 - p_2) \Rightarrow \alpha = \frac{N}{\tau_1(p_1 - p_2)}$$

$$\Rightarrow N_2(t) = \frac{N}{\tau_1(p_1 - p_2)} (e^{p_1 t} - e^{p_2 t})$$

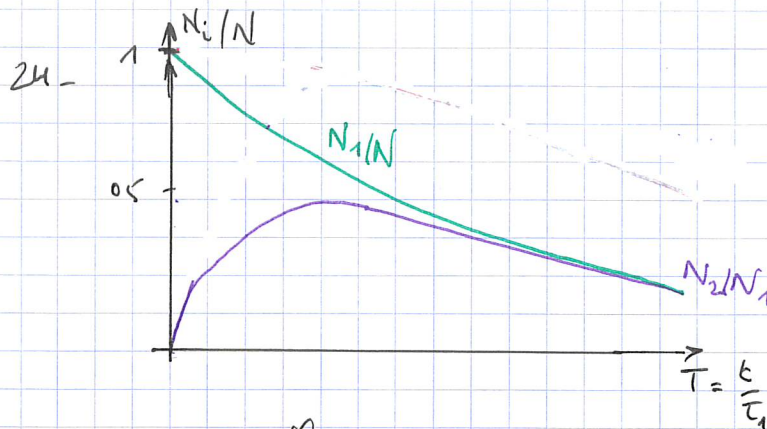
23 - \* L'augmentation en particules du compartiment (2) ne se fait que par le trou de siphon s. Donc la quantité maximale de particules  $N_2$  croît avec le rapport  $\frac{s}{s'} = \frac{1}{k}$

(a) | (b) | (c)

$b_3$  |  $b_2$  |  $b_1$

\* Au temps, les évolutions sont identiques car l'abondance de particule dans (2) est trop faible pour que l'effusion par s' se fasse, de même pour le retour dans (1) par s.

$$\frac{dN_2}{dt} \approx \frac{N_1}{\tau_1} \approx \frac{N}{\tau} \text{ indépendant de } b.$$



Comme  $k = 0,1$ , l'émission dans le vide est lente. Donc la 1<sup>re</sup> étape suit quasiment l'évolution de la partie 4.1., tendant vers l'équiquartition des particules dans les 2 compartiments.

Ensuite, l'émission dans le vide, déplace cet équilibre dans le sens de la diminution de  $N_1$  et  $N_2$  conjointement.

25 - La mesure de la pression est une mesure indirecte de  $N_i$ :  $P_i(t) = N_i(t) \frac{RT}{V_i}$

$(i-1)$	$(i)$	$(i+1)$
$N_{i-1}(t)$	$N_i(t)$	$N_{i+1}(t)$

$$\frac{dN_i}{dt} = \dot{N}_{i-1/i} - \dot{N}_{i/i-1} + \dot{N}_{i+1/i} - \dot{N}_{i/i+1}$$

$$= \frac{1}{\tau} (N_{i-1} - N_i + N_{i+1} - N_i)$$

$$\rightarrow \frac{dN_i}{dt} = \frac{1}{\tau} (N_{i-1} + N_{i+1} - 2N_i)$$

27.  $N_i(t) = f(x_i, t)$ ;  $\frac{dN_i}{dt} = \frac{\partial f}{\partial t}$

$$N_{i-1}(t) = f(x_i - L, t) \approx f(x_i) - L \frac{\partial f}{\partial x_i} + \frac{L^2}{2} \frac{\partial^2 f}{\partial x_i^2}$$

$$N_{i+1}(t) = f(x_i + L, t) \approx f(x_i) + L \frac{\partial f}{\partial x_i} + \frac{L^2}{2} \frac{\partial^2 f}{\partial x_i^2}$$

d'où  $\frac{\partial f}{\partial t} = \frac{L^2}{\tau} \frac{\partial^2 f}{\partial x^2}$  en considérant  $x$ , variable continue car  $L \gg 1$

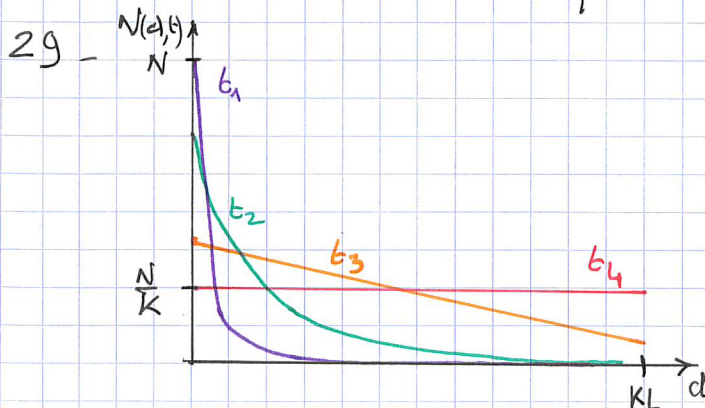
C'est une équation de diffusion, comme si chaque compartiment constitue un système mesoscopique auquel on a appliqué un bilan de particules.

28. Les DL sont justifiés si  $f(x) \gg L \frac{\partial f}{\partial x} \approx L f$

en notant  $\lambda$ : distance typique de variation de  $f$ .

$$\Rightarrow \lambda \gg L.$$

Il faut donc que les  $N_i$  de celles voisinées soient quasiment égales à un infiniment petit près.



$$t_1 \ll \tau$$

$$t_2 \approx \tau$$

$$t_3 \gg \tau$$

$$t_4 \gg \tau$$

30 - Tableau d'analogies :

I  
Valeur

$$C = \frac{Q}{\Delta V_{\text{elec}}}$$

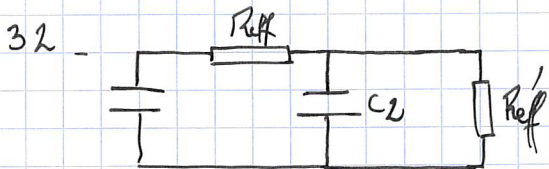
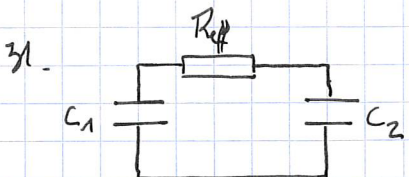
$$R = \frac{\Delta V_{\text{elec}}}{I}$$

N  
P (pression)

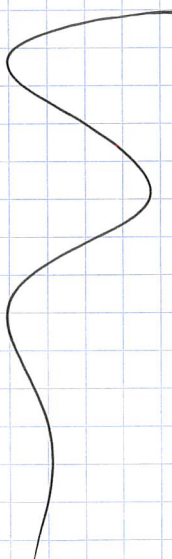
$$\frac{N}{\Delta P}$$

$$\frac{\Delta P}{N} = \frac{\Delta N}{N} \frac{k_B T}{V} = R_{\text{eff}}$$

$$R_{\text{eff}} = \frac{1}{V} \frac{k_B T}{\Delta N} = \frac{1}{V} \sqrt{\frac{2m k_B T}{\pi}}$$



33. Dans le système électrique la charge est conservée car le circuit est fermé alors que dans le système des particules (équivalent de la charge) il ne se conservent pas dans les ensembles



# RAYONNEMENT DE L'ACIER CHAUFFÉ TEMPÉRATURE DE COULEUR

( X-ESPCI - PC - 2023 )

$$1. \quad L^o(\lambda, T) = \frac{2\pi hc^2}{\lambda^5} \frac{1}{e^{hc/\lambda k_B T} - 1} \quad \text{Posons } x = \frac{hc}{\lambda k_B T}$$

$$\rightarrow L^o(x, T) = 2\pi hc^2 \left( \frac{k_B T}{hc} \right)^5 \underbrace{\frac{x^5}{e^x - 1}}_{f(x)}$$

$$f'(x) = \frac{5x^4(e^x - 1) - x^5 e^x}{(e^x - 1)^2} = \frac{5e^x \cdot x^4}{(e^x - 1)} \left( 1 - e^{-x} + \frac{x}{5} \right) = 0$$

$$\text{Soit } e^{-x} = 1 - \frac{x}{5} \Rightarrow x \approx 5 \quad \text{pour } \lambda = \lambda_{\max} \approx \frac{hc}{5k_B T} \Rightarrow \lambda_{\max} \approx 3 \cdot 10^{-3} \text{ km}$$

$$2. \quad \text{Par définition, } P_{\text{ray}} = \int_{\lambda=0}^{\infty} L^o(\lambda, T) d\lambda = \int_{x=0}^{\infty} \frac{hc}{k_B T} \frac{1}{x^5} L^o(x, T) dx$$

$$dx = -\frac{\lambda c}{k_B T} \frac{1}{\lambda^2} d\lambda$$

$$P_{\text{ray}} = 2\pi hc^2 \left( \frac{k_B T}{hc} \right)^4 \int_0^{\infty} \frac{x^3}{e^x - 1} dx = \frac{2\pi^5}{15} c \frac{(k_B T)^4}{(hc)^3} = \sigma T^4 = P_{\text{ray}}$$

$$\text{On identifie } \sigma = \frac{2\pi^5 k_B^4}{15 h^3 c^2}$$

$$3. \quad \lambda_{\max} = 2,799 \mu\text{m pour } T = 1000 \text{ K.}$$

98% de la puissance superficielle est émise dans la bande  $[\frac{\lambda_{\max}}{2}; 8\lambda_{\max}]$

sait  $[1,5 \mu\text{m}; 24 \mu\text{m}]$ . Donc l'émission dans le visible  $[0,4 \mu\text{m}; 0,8 \mu\text{m}]$  est inférieure à 2%

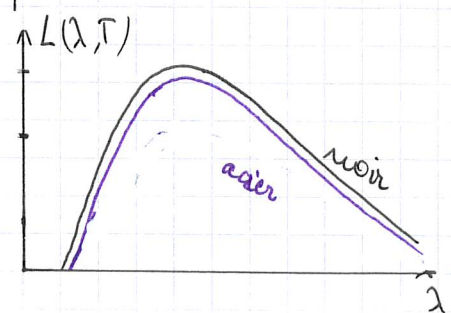
4. A 1000 K, seule la bande du visible correspond à la moitié des longueurs d'onde émises, et plus précisément les couleurs jaune-orange et rouge, compatible avec l'observation.

5.  $0 < \epsilon \leq 1$ . indépendante de  $\lambda$ .

\* Dans ce modèle, l'émission ne modifie pas la loi de Wien.

\* Loi de Stefan:  $P_{\text{ray, gris}} = \epsilon P_{\text{ray, noir}}$

En échelle log:  $\log L = \underbrace{\log \epsilon}_{\log(0,7)} + \log L^o$ , pour l'acier

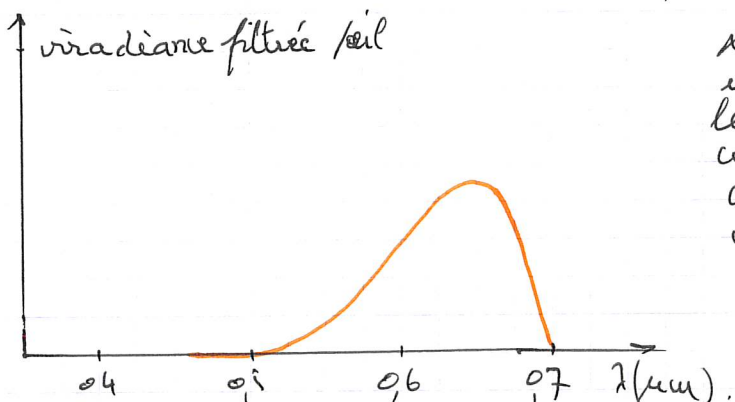
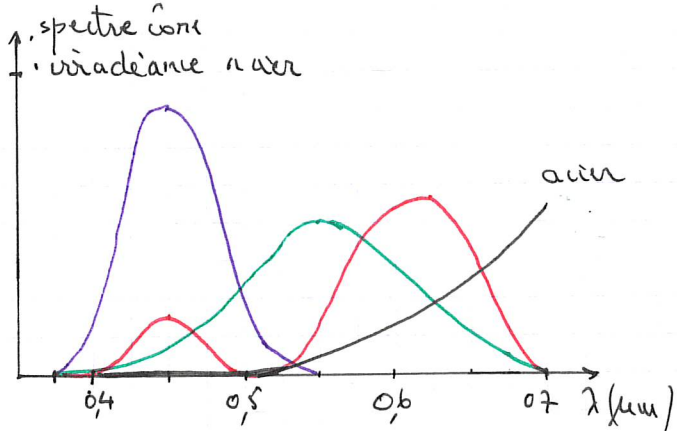


$$6 - * \lambda'_{\max} = \frac{hc}{k_B a T} \frac{1}{1 - \frac{b}{a} T} \rightarrow \lambda'_{\max} = \lambda_{\max} \frac{1}{1 - \frac{b}{a} T} \quad \boxed{\lambda'_{\max} \approx 34 \mu\text{m.}} \quad \checkmark$$

$\lambda'_{\max} > \lambda_{\max}$  donc à  $T$  fixe, le rayonnement est moins énergétique ( $E = \frac{hc}{\lambda}$ ). À encore, le modèle se traduirait donc par une émissivité inférieure à 1.

\* La perception de la couleur ne dépend pas que du spectre émis mais aussi de la sensibilité spectrale de l'œil.

7 -



\* L'irradiance de l'air une fois filtrée par les coups de l'œil est compatible avec la couleur jaune (ou rouge ?) observée.

